

НАУЧНО-ПРОИЗВОДСТВЕННОЕ ОБЪЕДИНЕНИЕ АРМАТУРОСТРОЕНИЯ
"ЗНАМЯ ТРУДА"

С Т А Н Д А Р Т П Р Е Д П R И Я Т И Я

ВЕНТИЛИ ЗАПОРНЫЕ САЛЬНИКОВЫЕ И СИЛЬФОННЫЕ
Методика упрощенного силового расчета

СТП 07-81-I74-75

Утверждаю

Генеральный директор НПОА

"Знамя труда"

С.И.

Косых С.И.
19 02 1975 г.

Группа Г 18

С Т А Н Д А Р Т П Р Е Д П R И Я Т И Я

ВЕНТИЛИ ЗАПОРНЫЕ САЛЬНИКОВЫЕ
И СИЛЬФОННЫЕ
Методика упрощенного
силового расчета

СТП 07-81-174 -75

Взамен НР-II2-64

Приказом по НПОА "Знамя труда" от 19 февраля 1975 г.
№ 53 срок введения установлен
с 1 мая 1975 г.

I. Настоящий стандарт распространяется на запорные сальниковые вентили с ввинчиваемым шпинделем и нехестким соединением золотника и шпинделя, запорные сильфонные и сальниковые вентили с невращающимся шпинделем, запорные сальниковые и сильфонные вентили с ввинчиваемым шпинделем и невращающимся штоком, запорные сильфонные вентили с вращающимся шпинделем и невращающейся резьбовой втулкой типа т/ф 15кчбр.

Настоящий стандарт устанавливает метод, содержание и порядок выполнения упрощенного силового расчета запорных сальниковых и сильфонных вентилей.

2. Упрощенный силовой расчет является сокращенным по сравнению с более подробным силовым расчетом. Их отличие состоит в следующем:

а) для каждого положения вентиля (закрытое, близкое к закрытому, открытое) вместо двух величин силовых факторов, относящихся к процессам закрытия и открытия, приводится одна наибольшая величина без указания, какому процессу она соответствует;

б) отсутствует раздел, учитывающий наличие разгрузочного золотника;

И.В.Колесов	Подпись и дата	Взам.	Изв. №	Подпись и дата
589-45	26.02.81			

в) не рассматривается случай, когда при подаче среды на золотник закрытие вентиля производится при давлении P , а открытие - при падении давления ΔP ;

г) не приводятся уточненные формулы для расчета силы трения в шпонке $T_{шп}$ и момента трения в пяте M_p .

3. При выполнении расчета на конкретное изделие следует пользоваться формой расчета, приведенной в приложении. При этом нумерация разделов, подразделов, пунктов, рисунков и таблиц присваивается в соответствии с ГОСТ 2.105-68.

4. Подробная методика силового расчета запорных вентилей приводится в следующих стандартах предприятия, разработанных ЦКБА:

СТП 07-51-136-73 "Вентили запорные сальниковые с ввинчиваемым шпинделем (золотник и шпиндель соединены не жестко). Методика силового расчета", СТП 07-51-139-73 "Вентили запорные сальниковые с ввинчиваемым шпинделем (золотник и шпиндель соединены жестко). Методика силового расчета", СТП 07-51-137-73 "Вентили запорные сильфонные и сальниковые с невращающимся шпинделем. Методика силового расчета" и СТП 07-51-143-73 "Вентили запорные сальниковые и сильфонные с ввинчиваемым шпинделем и невращающимся штоком. Методика силового расчета".

Главный инженер НПОА
"Знамя труда"

Сарайлов М.Г.

Зам.главного инженера

Шаков О.Н.

Заведующий отделом № I6I

Перов П.Ф.

Заведующий отделом № II8

Азарашвили Р.А.

Руководитель темы

Гуткин П.А.

Исполнитель -
конструктор 2 категории

Горюнова А.В.

ИЧР. "ПОЛЮС" Попечитель и дата Взам. инв. №	
589-45	26.02.81

ПРИЛОЖЕНИЕ

ФОРМА РАСЧЁТА

I. Расчёт производится в соответствии с СТП 07-81-I74-75 "Стандарт предприятия. Вентили запорные сальниковые и сильфонные. Методика упрощённого силового расчёта". Издание ЦКБА.

2. Задача расчёта – определение усилий и моментов, необходимых для управления вентилем, и получение исходных данных для расчёта на прочность. Определяются следующие основные величины:

- Q_0 - наибольшее необходимое усилие вдоль шпинделя;

Q_2 - наибольшее усилие вдоль шпинделя в закрытом или открытом положении вентиля (направлено в сторону открытия);

Q - усилие вдоль шпинделя в закрытом положении вентиля;

Q_3 - усилие вдоль шпинделя в открытом положении вентиля;

Q_1 - усилие вдоль шпинделя (подача среды на золотник) в положении вентиля, слишком к закрытому;

M - наибольший необходимый крутящий момент на маховике (рукойтке);

M_p - момент в резьбе в закрытом или открытом положении вентиля;

M_{p1} - момент в резьбе (подача среды на золотник) в положении вентиля, слишком к закрытому;

M_{σ} - момент трения в бурте в закрытом или открытом положении вентиля;

$M_{\sigma1}$ - момент трения в бурте (подача среды на золотник) в положении вентиля, слишком к закрытому;

- M_c - момент силы трения в сальнике (для сальникового вентиля с ввинчиваемым шпинделем);
- Q_B и M_B - усилие по шпинделю и крутящий момент на маховике (рукоятке) при создании верхнего уплотнения;
- Q_M - наибольшее необходимое усилие на маховике (рукоятке);
- Q_{om} - максимально возможное усилие вдоль шпинделя при расчете сверху;
- q_{ym} - максимально возможная погонная нагрузка в уплотнении при расчете сверху.

3. Исходные данные:

тип вентиля (рис.);

направление подачи среды (под золотник или на золотник);

вид уплотнения - I, 2 или 3 (рис.);

P - расчетное давление;

ΔP - перепад давлений, при котором производится закрытие и открытие вентиля;

P_1 - давление над золотником в закрытом положении;

D_1 и D_2 - внутренний и наружный диаметры уплотнения соответственно (рис.);

$D_{нар}$ и $D_{вн}$ - наружный и внутренний диаметры сильфона (типы III, IV и У) соответственно (рис.);

материал уплотнения, сальниковой набивки, шпинделя, резьбовой втулки, золотника (тип I), соединительной муфты (тип II и III), опор бурта; вид среды;

$d \times t$ - наружный диаметр и ход резьбы шпинделя (для однозаходной резьбы ход равен шагу);

обозначение и размеры подшипника (тип IV, У и VI);

d_{σ_1} и d_{σ_2} - средние диаметры бурта (рис.);

Изв. № посл.	Подпись И.дата	Взам. инициал.	Модель	Подпись и дата
589-УБ	26.02.87	Л		

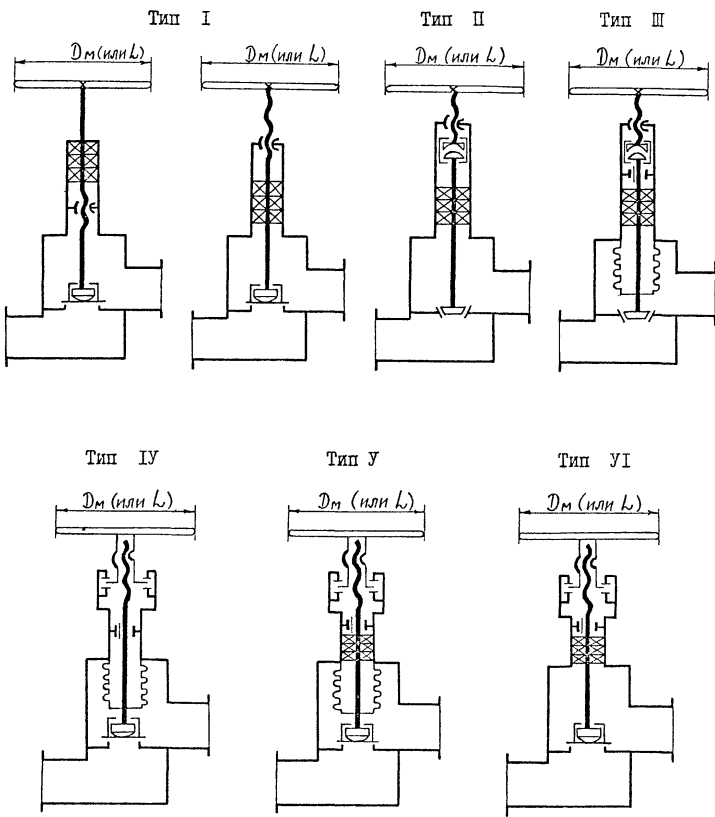
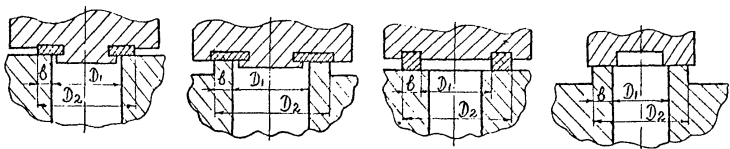
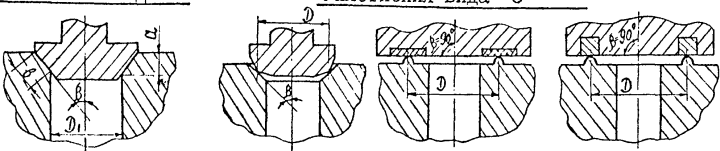
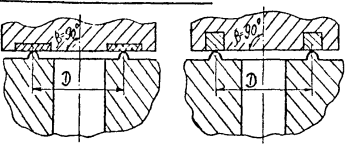
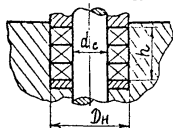
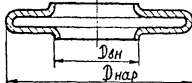
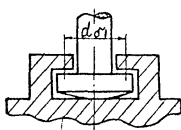


Рис. Типы вентилей

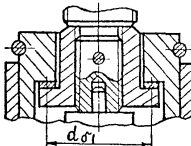
Черт. №1001	Подпись и патент зам. инв. №
589-45	е 6. 02. дг

Уплотнения вида IУплотнение вида 2Уплотнения вида 3СальникГофр сильфонаУзлы бурта

для вентилей типа I



для вентилей типа II и III



для вентилей типа IV, У и У1

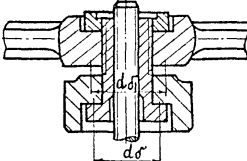
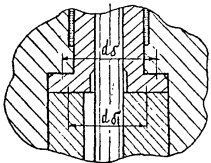


Рис. Виды уплотнений и буртов

Изв. № подл. Подпись и дата взам. инв.	Изв. № подл. Подпись и дата
589-75	26.09.79

вид ручного привода (маховик, двуплечая рукоятка, одноплечая рукоятка или ключ);

расположение маховика (рукоятки);

геометрические размеры вентилей β , α , D , d_c , D_H , h , D_m (или L) типа I (сальникового с ввинчиваемым шпинделем), типа II (сальникового с ввинчиваемым шпинделем и невращающимся штоком), типа III (сильфонного с ввинчиваемым шпинделем и невращающимся штоком с дублирующим сальником), типа IV (сильфонного с невращающимся шпинделем без сальника), типа V (сильфонного с невращающимся шпинделем с дублирующим сальником), типа VI (сальникового с невращающимся шпинделем) - рис.

4. Входящие величины:

- $D_{ср}$ - средний диаметр уплотнения;
- δ - ширина уплотнения (рис.);
- $D_{выт}$ - средний диаметр, принятый при расчете площади $F_{шп}$;
- F - площадь действия давления среды на золотник;
- $F_{шп}$ - площадь действия давления среды на шпиндель (шток);
- $Q_{ср}$ - усилие от давления среды на золотник;
- $Q_{шп}$ и $Q'_{шп}$ - усилия, выталкивающие шпиндель (шток) в закрытом и открытом положении соответственно;
- $Q_{ср.м}$ - наибольшее усилие от давления среды (подача среды под золотник);
- q_p - предельно допустимое удельное давление в уплотнении;
- $q_{уп}$ - предельно допустимая погонная нагрузка в уплотнении;
- m - коэффициент, учитывающий вид среды;
- C и K - коэффициенты, зависящие от материала уплотнения;
- q_y и q_{yo} - погонные нагрузки, необходимые для уплотнения при давлении P и при $P \rightarrow 0$ соответственно;
- q_{y1}, q_{y2}, q'_y и q_{yo} - погонные нагрузки при расчете величин q_y и q_{yo} ;

Мар. Коды	Помощь и пат. Взам. инв. №	Инв. №
589-45	26.02	29

- ℓ - длина линии уплотнения;
 n_1 - коэффициент, учитывающий угол наклона β и трение в уплотнении;
 Q_y и Q_{yo} - усилия, необходимые для уплотнения при давлении P и при $P \rightarrow 0$ соответственно;
 S - ширина сальниковой набивки;
 Ψ и φ - коэффициенты, зависящие от отношения $\frac{h}{S}$;
 T_c - сила трения в сальнике;
 T_c - проекция силы трения в сальнике на ось шпинделя;
 X - коэффициент, учитывающий трение в шпонке шпинделя (штоке);
 μ - коэффициент трения движения в резьбе;
 l_p - условное плечо момента в резьбе;
 $\delta = \frac{Q_{cp}}{Q_{shp}}$ - вспомогательный коэффициент;
 γ - коэффициент, принятый при расчете момента трения в бурте;
 μ_σ и $\mu_{\sigma i}$ - коэффициенты трения в бурте;
 l_{σ} и $l_{\sigma i}$ - условные плечи момента трения в бурте;
 M_{pb} и $M_{\sigma b}$ - моменты в резьбе и бурте соответственно при создании верхнего уплотнения;
 M_1 и M_2 - крутящие моменты на маховике или рукоятке (подача среды) на золотник) в положении вентиля, близком к закрытому, и в закрытом положении соответственно;
 M_{kp}^* - крутящий момент, по которому подбирается маховик (рукоятка);
 D_m^* (или L^*) - диаметр маховика (или длина рукоятки), соответствующие моменту M_{kp}^* ;
 M_{kp} - максимальный крутящий момент, развиваемый маховиком (рукояткой);

Инв. №	Подпись и дата	Взам. инв. №	Подпись и дата
589-45	26.02.81		

Q_{om} - максимально возможное усилие вдоль шпинделя при закрытии без среды;

Q_{up} - максимально возможное усилие уплотнения при расчете сверху.

5. Указанные на рис. схемы корпуса вентиля распространяются на различные конструкции корпуса (проходные, угловые, прямоточные). Для типов IV, У и VI вместо цельного невращающегося шпинделя могут быть невращаемые шпиндель и шток.

Соединение золотника со шпинделем (штоком) - любое, имеющее осевой люфт (для типа I - допускающее взаимное вращение).

6. Если закрытие и открытие вентиля производится при перепаде давления ΔP , то при расчете величин q_{yI} и Q_{cp} вместо давления P принимается величина ΔP , а при расчете усилия Q_{shp} принимается величина P_1 - давление над золотником в закрытом положении.

При определении усилий и моментов в открытом положении жесткостью сильфонов (типы III, IV, V) пренебрегаем.

7. Наружный и внутренний диаметры сильфона $D_{нар}$ и $D_{вн}$ (рис.) принимаются согласно имеющимся документам: нормам, стандартам или техническим условиям. Если в документе приводятся величины эффективной площади $F_{\text{эфф}}$, то величины $D_{нар}$, $D_{вн}$ и $D_{выт}$ не определяются, а принимается $F_{шп} = F_{\text{эфф}}$.

8. Для уравновешенного золотника (например, золотник в виде поршня с центральным отверстием) величина Q_{cp} принимается равной нулю ($Q_{cp} = 0$).

9. Если выполняется условие $q_{yI} > q_{up}$, принимается $q_{yI} = q_{up}$.

10. При отсутствии осевого люфта между шпинделем (штоком) и золотником (например, неразъемное соединение) для подачи среды на золотник или для верхнего уплотнения величины q_{ylo} , q_{yo} и Q_{yo} не определяются. Формула для Q (Q_b) при $Q_y \leq Q_{cp}$ заменяется формулой для Q (Q_b) при $Q_y > Q_{cp}$.

II. Для расчёта сальника из фторопласта - 4 и ФУМа использован РТМА 58-68 "Руководящий технический материал. Конструкции и детали сальниковых узлов с набивкой из фторопласта-4 и ФУМа". Издание ЦКБА.

12. Усилие трения в шпонке шпинделя (штока) учитывается коэффициентом X . При отсутствии шпонки $X = 1,0$, при наличии шпонки $X = 1,1$.

13. Для типа I за средний диаметр бурта принимается средний диаметр касания бурта шпинделя с буртом золотника.

Для типов II и III за средний диаметр бурта принимается наименьший из средних диаметров касания верхнего и нижнего буртов соединительной муфты с опорами. Наиболее часто наименьшим является средний диаметр касания верхнего бурта.

Для типов IV, У и VI без шарикоподшипников имеем:

d_{σ} - средний диаметр касания верхней части бурта и опоры;

d_{σ_1} - средний диаметр касания нижней части бурта и опоры (или средний диаметр касания маховика и крышки).

Наиболее характерные типы буртов показаны на рис.

Коэффициент трения в бурте без смазки принимается равным 0,15 при сочетании материалов чугун-чугун и равным 0,3+0,4 при сочетании материалов сталь-сталь.

Для типов IV, У и VI с шарикоподшипниками имеем:

$d_{\sigma} = d_{\sigma_1}$ - средний диаметр шарикоподшипника;

$\mu_{\sigma} = \mu_{\sigma_1} = 0,01$.

14. Усилия Q_y , Q_{yo} , Q_{cp} для расчёта верхнего уплотнения определяются по формулам раздела "Основные усилия" табл.

При этом в графе в виде дроби вписываются два значения соответствующих величин (геометрических размеров, коэффициентов, погонных нагрузок и усилий): в числителе - для основного уплотнения, в знаменателе

Изв. № подл.	Подпись и дата	Изв. № подл.	Подпись и дата
589-45	26.02.82		

- для верхнего уплотнения.

15. Для всех типов (кроме типа I) если $\gamma \leq 1$, величина M_1 не определяется и не учитывается при расчёте величины M .

16. Определение диаметра маховика (длины рукоятки) и расчёт от максимального крутящего момента, развивающегося маховиком или рукояткой, (расчёт сверху) производится согласно ОСТ 26-07-420-72. Для выбора диаметра маховика D_M^* (длины рукоятки L^*) используется условие $M_{kp} \geq M_{\varphi}^*$, причём величина M_{kp} округляется до значений, приведённых в табл. I, 2 или 3 ОСТ 26-07-420-72.

17. При расчёте усилий Q_{om} и Q_{um} как правило заполняются две верхние строки, а если требуется закрытие вентиля без среды с последующей подачей среды - две нижние строки.

18. Условное плечо момента в резьбе L_p определяется по формуле:

$$L_p = \frac{d_{cp}}{2} \operatorname{tg}(\alpha + \rho),$$

где d_{cp} - средний диаметр резьбы;

α - угол подъёма в резьбе, $\operatorname{tg} \alpha = \frac{t}{\pi d_{cp}}$;

ρ - угол трения движения в резьбе, $\operatorname{tg} \rho = \mu$.

19. Необходимые данные для расчёта удельных давлений в уплотнении, силы трения в сальнике, данные по коэффициентам трения, условные плечи момента в резьбе приведены в РМ-3-62 "Руководящий технический материал. Приложение к силовым расчётам запорной арматуры". Издание ЦКБА. Величины q_p для фторопласта-4 приведены в ОСТ 26-07-251-71.

Данные по коэффициентам трения в резьбе специальной арматуры приведены в РТМА 57-68 "Руководящий технический материал. Резьбовые пары для вентилей специальной арматуры". Издание ЦКБА.

20. Алгоритм расчёта и расчёты приведены в табл.

Изв. № полн.	Подпись и дата зам. инв. №	Изв. № полн. Подпись и дата
589-45	26.02.82	Л

Таблица

Расчетные величины и формулы							
Основные усилия							
Тип вентиля							
Подача среды(под или на золотник)							
Вид уплотнения (I, 2 или 3)							
См. п. 6	P	, кГ/см ²					
	ΔP	, кГ/см ²					
	P_1	, кГ/см ²					
Вид I	D_1	, см					
	D_2	, см					
	$D_{cp} = 0,5(D_1 + D_2)$, см					
	$\delta = 0,5(D_2 - D_1)$, см					
Вид 2	D_1	, см					
	β	, град					
	a	, см					
	$D_{cp} = D_1 + a \operatorname{tg} \beta$, см					
	$\delta = \frac{a}{\cos \beta}$, см					
Вид 3	β	, град					
	$D_{cp} = D$, см					
Кроме типа IУ		d_c	, см				
Тип I, II и УI		$D_{выт}$	= d_c	, см			
Шифр сильфона и документ							
Тип III, IИ и У	$D_{нар}$, см					
	$D_{вн}$, см					
	$D_{выт} = 0,5(D_{нар} + D_{вн})$, см					

Изв. № подл.	Подпись и дата взам. изв. из подл.
589-46	26.02.81

Продолжение табл.

Расчетные величины и формулы						
	$F = \frac{\pi}{4} D_{cp}^2$, см ²					
	$F_{шп} = \frac{\pi}{4} D_{шп}^2$ (см.п. 7), см ²					
См. п. 6	$Q_{cp} = P \cdot F$ (см.п. 8), кГ					
	$Q_{шп} = P \cdot F_{шп}$, кГ					
	Подача среды под золотник					
	$Q_{ср.м} = \max(Q_{cp}; Q_{шп})$, кГ					
	Материал уплотнения					
	$q_{\pi} \left(\begin{array}{l} \text{см. РМ-3-62, табл. 7} \\ \text{или} \\ \text{ОСТ 26-07-251-71, табл. 10} \end{array} \right)$, кГ/см ²					
Вид I и 2	$q_{уп} = q_{\pi} \beta$, кГ/см					
	Вид среды					
	m (см. РМ-3-62, табл. I)					
Вид I и 2	c (см. РМ-3-62, табл. 2) K					
	$q_{y1} = m(c + KP)\sqrt{\beta}$, кГ/см (см.п.п. 6 и 9)					
Вид 2 и 3	q'_{y1} (см. РМ-3-62, табл. 3), кГ/см $q_{y2} = m q'_{y1}$, кГ/см					
Вид I	$q_y = q_{y1}$, кГ/см					
Вид 2	$q_y = \max(q_{y1}; q_{y2})$, кГ/см					
Вид 3	$q_y = q_{y2}$, кГ/см					
	$\ell = \pi D_{cp}$, см					
	n_1 (см. РМ-3-62, табл. 6 для вида I $n_1 = 1$)					
	$Q_y = q_y \ell n_1$, кГ					

Изв. подпись и дата взам. инициалы. Фамилия. Имя
589-ЧБ 26.02.82

Продолжение табл.

Расчетные величины и формулы						
$Q_y \leq Q_{y0}$; НА ЗОЛОТНИК или ВЕРХНЕЕ УПЛОТНЕНИЕ	Есть или нет осевой люфт между шпинделем (штоком) и золотником					
Вид I и 2	$Q_{y0} = \pi c \sqrt{b}$, кГ/см					
Вид I	$Q_{y0} = Q_{y1}$, кГ/см					
Вид 2	$Q_{y0} = \max(Q_{y1}; Q_{y2})$, кГ/см					
Вид 3	$Q_{y0} = Q_{y2}$, кГ/см					
	$Q_{y0} = Q_{y0} l n_1$, кГ					

Сила трения в сальнике (без сальника $T_c = 0$)

Материал набивки						
D_H	, см					
h	, см					
$S = 0.5(D_H - d_c)$, см					
$\frac{h}{S}$						
ψ (см. РМ-3-62, табл. 8 для фторопласта при $P_p = 26 \div 63$)						
КРОМЕ ФТОРОПЛАСТА-4 и ФУМА (ст. п. II)	$\bar{T}_c = \psi d_c S P$, кГ					
ψ (см. РМ-3-62, табл. 8 при $P_p = 26 \div 63$)						
$P \leq 16$	$\bar{T}_c = \psi d_c S \frac{150 + P}{\varphi}$, кГ					
$P > 16$	$\bar{T}_c = \psi d_c S \frac{100 + P}{\varphi}$, кГ					
типа II, III, IV и V	$T_c = \bar{T}_c$, кГ					
типа I	$T_c = 0$					

Изв. подп. и дата взам. иных
589-45 26.08.79

Продолжение табл.

Расчетные величины и формулы							
<u>Наибольшее усилие вдоль шпинделя</u>							
X (см.п. 12)							
При наличии ΔP	$Q'_{шп} = P F_{шп}$, кГ						
	$Q_3 = X(Q'_{шп} + T_c)$, кГ						
Под золотник	$Q = X(Q_{ср.М} + Q_y + T_c)$, кГ						
	$Q_0 = Q_2 = \max(Q; Q_3)$, кГ						
на золотник	$Q_1 = X(Q_{ср} - Q_{шп} + T_c)$, кГ						
	$Q_y \leq Q_{ср}$  $Q = X(Q_{y0} + Q_{шп} + T_c)$, кГ						
	$Q_y > Q_{ср}$  $Q = X(Q_y + Q_{шп} + T_c)$, кГ						
	$Q_2 = \max(Q; Q_3)$, кГ						
	$Q_0 = \max(Q_1; Q_2)$, кГ						

Наибольший крутящий момент в резьбе

Резьба $d \times t$							
Материал шпинделя							
Материал резьбовой втулки							
μ (см. РМ-3-62, табл. 9 и II) или РТМА 57-68							
L_p (см. РМ-3-62, табл. 20)							
на золотник	$\gamma = \frac{Q_{ср}}{Q_{шп}}$						
(для типа I) (при любом γ)	$M_{р1} = Q_1 L_p$, кГсм						
	$M_p = Q_2 L_p$, кГсм						

Инв. № 109
Подпись и дата зам. инв. № 109
589-Х5 26.02.1981

Продолжение табл.

Расчётные величины и формулы							
<u>Наибольший момент трения в бурте</u>							
Type I, III	γ (рекомендуется для типа I) $\gamma \approx 0,15$; для типа II и III $\gamma \approx 0,2$						
Type II, VI	$M_{\sigma} \approx \gamma M_p$, кГсм						
Type III	Обозначение и размеры подшипника						
	d_{σ} , см						
	Материалы деталей, определяющих d_{σ}						
	M_{σ} (см. РМ-3-62, табл. IO и 12)						
	$L_{\sigma} = 0,5 d_{\sigma} M_{\sigma}$, см						
	$M_{\sigma} = 1,3 Q_2 L_{\sigma}$, кГсм						
на золотник при $\delta > I$ (для типа I при целиком δ) или верхнее уплотнение	d_{σ_1} , см						
	Материалы деталей, определяющих d_{σ_1}						
	M_{σ_1} (см. РМ-3-62, табл. IO и 12)						
	$L_{\sigma_1} = 0,5 d_{\sigma_1} M_{\sigma_1}$, см						
Type I (на золотник)	$M_{\sigma_1} = Q_{cp} \cdot L_{\sigma_1}$, кГсм						
Type II, III, IV, V, VI (на золотник) при $\delta > I$	$M_{\sigma_1} = Q_i \cdot L_{\sigma_1}$, кГсм						

И.В. Мод. Попись и дата взам. И.Н.В. Изв. подпись и дата
589-45 26.02.81

Продолжение табл.

Расчётные величины и формулы							
<u>Усилия и моменты при создании верхнего уплотнения</u>							
$Q_y \leq Q_{cp}$	$Q_\beta = x(Q_{y0} + T_c)$, кГ	$C_m \cdot \frac{14}{10}$					
$Q_y > Q_{cp}$	$Q_\beta = x(Q_y + T_c)$, кГ	$C_m \cdot \frac{11}{10}$					
	$M_{p\beta} = Q_\beta \cdot L_p$, кГсм						
	$M_{\delta\beta} = Q_\beta \cdot L_{\delta\beta}$, кГсм						
	$M_\beta = M_{p\beta} + M_{\delta\beta}$, кГсм						

Наибольший крутящий момент на маховике (рукоятке)

Тип I	$M_c = \bar{T}_c \cdot 0,5 d_c$, кГсм						
Тип II, III, IV, V и VI	$M_c = 0$, кГсм						
Под золотник	$M = M_p + M_{\delta\beta} + M_c$, кГсм						
На золотник	При $\delta > 1$ (для типа I) при любом δ	$M_1 = M_{p1} + M_{\delta1} + M_c$, кГсм					
	$M_2 = M_p + M_{\delta\beta} + M_c$, кГсм						
	$M = \max(M_1; M_2)$ (см. п. 15), кГсм						

Диаметр маховика (длина рукоятки)
и необходимое усилие на маховике (рукоятке)

Инв. № подл	Подпись и дата	Взам. инв. № подл	Подпись и дата				
589-45	26.02.82						
$M_{kp}^* = 1,25 M$							
Вид ручного привода							
Расположение маховика (рукоятки)							
D_M^* (или L^*) см. табл. I, 2 или 3							
Принятый размер D_M (или L), см							
$Q_M = \frac{2M}{D_M \text{ (или } L \text{)}} \left(\text{для ключей } Q_M = \frac{M}{L} \right)$, кГ							

Продолжение табл.

Расчётные величины и формулы					
------------------------------	--	--	--	--	--

Расчёт от максимального крутящего момента,
развиваемого маховиком или рукояткой, (расчёт сверху)

M_{kp} (см. ОСТ 26-07-420-72 табл. I, 2 или 3), кГсм					
Тип I, II и III	$Q_{OMI} \approx \frac{M_{kp} - M_c}{1,15 l_p}$, кГ				
Тип IV, V, VI и VII	$Q_{OMI} = \frac{M_{kp}}{l_p + l_o}$, кГ				
Под золотник см. п. 17	$Q_{OM} = Q_{OMI}$, кГ				
	$Q_{UM} = Q_{OMI} - Q_{cp} - T_c$, кГ				
	$Q_{OM} = Q_{OMI} + Q_{cp}$, кГ				
	$Q_{UM} = Q_{OMI} - T_c$, кГ				
На золотник см. п. 17	$Q_{OM} = Q_{OMI} + Q_{cp} - Q_{wp}$, кГ				
	$Q_{UM} = Q_{OMI} + Q_{cp} - Q_{wp} - T_c$, кГ				
	$Q_{OM} = Q_{OMI}$, кГ				
	$Q_{UM} = Q_{OMI} + Q_{cp} - Q_{wp} - T_c$, кГ				
	$Q_{OM} = Q_{OMI} + Q_{wp} - Q_{cp}$, кГ				
	$Q_{UM} = Q_{OMI} - T_c$, кГ				
	$q_{UM} = \frac{Q_{UM}}{l_p}$, кГ/см				

Изв. инв. № подпись взам. инициалы подпись и дата
589-45 26.02.81